



(11) RO 126395 B1

(51) Int.Cl.

C01G 49/06 (2006.01),  
C01G 49/00 (2006.01),  
C22B 21/00 (2006.01),  
C22B 3/24 (2006.01)

(12)

## BREVET DE INVENȚIE

(21) Nr. cerere: **a 2009 00801**

(22) Data de depozit: **07.10.2009**

(45) Data publicării mențiunii acordării brevetului: **30.07.2014** BOPI nr. **7/2014**

(41) Data publicării cererii:  
**30.06.2011** BOPI nr. **6 /2011**

(73) Titular:

• INSTITUTUL NAȚIONAL DE  
CERCETARE-DEZVOLTARE PENTRU  
ELECTROCHIMIE ȘI MATERIE  
CONDENSATĂ - INCEM C TIMIȘOARA,  
STR.DR.AUREL PĂUNESCU PODEANU  
NR.144, TIMIȘOARA, TM, RO

(72) Inventatori:

• CHIRITĂ MIHAILĂ ION MARIUS,  
STR.PIATRA CRAIULUI NR.3, SC.D2+3,  
AP.26, TIMIȘOARA, TM, RO;  
• BĂNICĂ RADU, STR.HOREA NR.180,  
DEVA, HD, RO;  
• DABICI ANAMARIA, STR.DUNAREA  
NR.160, GHIRODA, TM, RO;  
• GROZESCU IOAN, STR.DUNAREA  
NR.160, GHIRODA, TM, RO

(56) Documente din stadiul tehnicoii:

KAI LOON CHEN ET ALL.,  
"ENHANCED AGGREGATION OF  
ALGINATE- COATED IRON OXIDE  
(HEMATITE) NANOPARTICLES IN THE  
PRESENCE OF CALCIUM, STRONTIUM  
AND BARIUM CATIONS"  
CAP.2 "MATERIALS AND METHODS",  
2.2 "PREPARATION AND  
CHARACTERIZATION OF HEMATITE  
NANOPARTICLES", PP.5921-5923,  
LAFAYETTE COLLEGE, EASTON,  
PENNSYLVANIA 18042 - 1782, MARCH 3,  
2007; JIN HO BANG, KENNETH S.  
SUSLICK, "SONOCHEMICAL SYNTHESIS  
OF NANOSIZED HOLLOW HEMATITE",  
UNIVERSITY OF ILLINOIS AT URBANA -  
CHAMPAIGN, URBANA, ILLINOIS,  
OCTOBER 26, 2006; JANA  
DRBOHLAVOVA ET ALL., "PREPARATION  
AND PROPERTIES OF VARIOUS  
MAGNETIC NANOPARTICLES", BRNO,  
CZ, www. mdpi.com/journal/sensors,  
ISSN 1424-8220, 30 MARCH 2009

### (54) PROCEDEU DE SINTEZĂ DE NANOPARTICULE DE HEMATITĂ

Examinator: ing. TEODORESCU DANIELA



Orice persoană are dreptul să formuleze în scris și  
motivat, la OSIM, o cerere de revocare a brevetului de  
invenție, în termen de 6 luni de la publicarea mențiunii  
hotărârii de acordare a acesteia

RO 126395 B1

Invenția se referă la un procedeu de sinteză de nanoparticule de hematită, prin descompunere hidrotermală a complexului Fe-EDTA, utilizat în producerea de semiconductori cu bandă interzisă mică, în domenii precum fotoelectrochimie, energie solară, fotocataliză, medicina mediului, descompunerea apei etc.

Se cunosc procedee pentru sinteza hidrotermală, prin procedeul clasic, a nanocristalelor oxidice în soluții acide sau bazice, la diferite temperaturi și grade de umplere a incintei de sinteză. Dezavantajele acestei metode constau în aceea că procesul de sinteză necesită prezența unor aditivi, dimensiunea particulelor este situată în afara domeniului nanometric, dispersia dimensională a particulelor este mare, iar calitatea materialului obținut este scăzută, însă unul dintre cele mai mari dezavantaje ale metodelor hidrotermale de obținere a hematitei cunoscute este acela că, în cele mai multe cazuri, se obțin structuri cristaline, polimorfe, ale oxidului feric, cum ar fi hematită cu maghemita sau hematită combinată cu forma cristalină epsilon a oxidului feric.

În literatura de specialitate, sunt extrem de puțin prezente metode de sinteză a hematitei al cărei spectru de difracție să prezinte o stare cristalină pură, cu pik-uri distințe, aferente formei hematită.

Problema pe care o rezolvă invenția constă în stabilirea unui procedeu de obținere a nanocristalelor de hematită ( $\alpha$ Fe<sub>2</sub>O<sub>3</sub>), în mediu lichid, la temperaturi medii și presiune, prin descompunerea hidrotermală a complexului Fe-EDTA (acid etilendiamino tetraacetic), cu controlul riguros al dimensiunilor și al proprietăților morfostructurale ale acestor materiale.

Hematita ( $\alpha$ Fe<sub>2</sub>O<sub>3</sub>) este una dintre cele patru forme polimorfe ale oxidului feric ( $\alpha$ alfa, beta, gamma și epsilon). Structura cristalină a hematitei este similară cu a corindonului (6:4) alfa Al<sub>2</sub>O<sub>3</sub>. Anionii au o structură hexagonală compactă, iar cationii ocupă 2/3 din interstițiile octoedrice formate, asigurând o distribuție uniformă a acestora. Altfel spus, la hematită, ionii de oxigen sunt distribuți hexagonal împachetat (trei axe coplanare cu 60 de grade între ele și o patra de mărime diferită, perpendiculară pe planul celor trei axe cu formele cele mai simple), în care Fe este prezent numai în siturile octoedrale, spre deosebire de mahemită și magnetită, unde ionii de oxigen sunt distribuți într-o rețea cubică împachetată, înconjurați de atomi de Fier, care ocupă atât locații tetraedrale, cât și locații octoedrale.

Capacitatea de magnetizare a hematitei este dependentă de temperatură, datorită faptului că distanțele dintre atomi cresc cu creșterea temperaturii. În acest context, nanoparticulele de hematită antiferomagnetice merită o atenție specială, cu atât mai mult cu cât aceasta nu este un antiferomagnet tipic. Hematita mai este supranumită și magnetul fals, pentru că momentele magnetice a două sublatice nu se anulează complet unul cu altul, rezultând un mic moment magnetic în direcția planului de bază (antiferomagnetism).

Hematita prezintă un feromagnetism slab deasupra temperaturii de 263°K și un antiferomagnetism inclinat sub 263°K [3]. În bulk, la temperatura camerei, momentul magnetic al hematitei este 1 emu/cm<sup>3</sup>. Modificarea proprietăților suprafetei, aproape și la suprafața particulei rezultă din ruperea simetriei laticei și din ruperea legăturilor care duc la o creștere a anizotropiei siturilor pe suprafață specifică, micșorând ordinea (alinierea) spinilor. Mai mult, cuplajul spinilor la interfața dintre diferitele suprafete și structurile miezului magnetic poate duce la mărirea anizotropiei de schimb. În sistemele de nanoparticule concentrate, interacțiunile de schimb între particule, cu implicarea atomilor de suprafață, este posibilă, datorită faptului că particulele se află în contact apropiat. În particular, efectele de suprafață joacă un rol dominant în comportarea magnetică a nanoparticulelor antiferomagnetice, datorită momentului magnetic intrinsec mic.

Datorită potențialului lor, legat de investigarea efectelor de suprafață și magnetizare inversă prin tunelare cuantică, nanoparticulele antiferomagnetice au început să redevină interesante.

Proprietățile fotoresponsive ale hematitei au început să fie studiate intens în ultimii ani, mai ales, acelea cu aplicații în fotoelectroliza apei, efect fotovoltaic, efect photocatalitic. Problema este să producem semiconductori ieftini, cu o bandă interzisă mică, care să fie capabili să absoarbă o mare cantitate de energie din spectrul solar. Hematita poate absorbi în spectrul vizibil. Fe (III) are o bandă interzisă de 2...2,1 eV și absoarbe de la 600 la 295 nm.	1 3 5
Invenția de față se referă la un procedeu nou de obținere a nanocristalelor de hematită (alfa $\text{Fe}_2\text{O}_3$ ), în mediu lichid, la temperaturi cuprinse între 150 și 250°C, și presiuni cuprinse între 20 și 40 bari, prin descompunerea hidrotermală a complexului Fe-EDTA (Ethilenediamine Tetraacetic Acid), cu controlul riguros al dimensiunilor și al proprietăților morfostructurale ale acestor materiale.	7 9
Procedeul de obținere a nanocristalelor de hematită, conform inventiei, înălătură dezavantajele menționate mai sus, prin aceea că, pentru obținere de nanoparticule de hematită în stare cristalină pură, cu proprietăți controlate în mediu lichid, se descompune hidrotermal un complex Fe-EDTA, la o temperatură de 150...250°C și o presiune de 20...40 bari, într-un timp de autoclavare de 10...24 h.	11 13 15
Avantajele aplicării procedeului conform inventiei constau în aceea că se pot obține materiale de calitate superioară, cu un consum redus de energie și timp, în lipsa aditivilor de sinteză, care ulterior trebuie îndepărtați prin diverse procedee postautoclavare, pe baza descompunerii, în mediul de sinteză din incintă, a complexului Fe-EDTA, în prezența unui mediu bazic și a unui oxidant, stimulând astfel procesul de cristalizare și dispersia dimensională a nanoparticulelor.	17 19 21
Procedeul conform inventiei mai prezintă avantajul că se obțin nanomateriale de calitate superioară, cu dimensiune, fază cristalină, omogenitate dimensională și proprietăți, noi sau îmbunătățite, controlate.	23
Proprietățile semiconductoare ale hematitei sunt extrem de folosite în domeniul fotoelectrochimiei, cu multiple aplicații pe subdomenii, cum ar fi conversia energiei solare, photocataliza, senzoristica, medicina mediului, descompunerea apei etc. Pe lângă proprietățile preponderent electrofotocatalitice ale hematitei, acest tip de material poate fi obținut cu costuri de producție minime, ceea ce îl face extrem de atractiv. În acest context, în ultima decadă, pe plan internațional, s-a pus un accent deosebit pe diversificarea metodelor de obținere a nanoparticulelor de hematită, metode care au urmărit obținerea de nanostructuri cristaline cu bune proprietăți electrofotocatalitice, la costuri de procesare minime.	25 27 29 31
Se dă, în continuare, un exemplu de realizare a inventiei, pornind de la sinteza nanocristalelor de hematită, pe baza descompunerii, în mediul de sinteză din incintă, a complexului Fe-EDTA, în prezența unui mediu bazic și a unui oxidant, stimulând astfel procesul de cristalizare și dispersia dimensională a nanoparticulelor.	33 35
Prin procedeul descris în continuare, s-a obținut o hematită al cărei spectru de difracție prezintă pik-uri aferente tuturor planurilor de difracție ale hematitei și care pot furniza o identificare rapidă și neechivocă a acestei forme cristaline a oxidului fieric, în stare pură.	37 39
<b>Exemplu.</b> Procedeul de sinteză a nanocristalelor de hematită are loc în patru secvențe distincte, după cum urmează:	41
<b>Secvența 1.</b> Această secvență se desfășoară în două etape. În prima etapă, soluția apoasă de sulfat dublu de fier și amoniu - $\text{FeNH}_4(\text{SO}_4)_2 \cdot 12\text{H}_2\text{O}$ , se amestecă, într-un pahar Berzelius, cu o cantitate de soluție de $\text{Na}_4\text{EDTA}$ , necesară pentru a se obține un lichid de culoare roșiatică; în cadrul acestei secvențe, fierul este complexat de către complexonul $\text{Na}_4\text{EDTA}$ ; iar în cea de-a doua etapă, se amestecă uree cu apă oxigenată, într-un pahar Berzelius, care să asigure dizolvarea ureei.	43 45 47

# RO 126395 B1

1 Secvența 2. Se amestecă soluția obținută în prima etapa a secvenței 1 cu soluția  
3 obținută în etapa a doua a aceleeași secvențe și se introduc într-o autoclavă de teflon cu manta  
de oțel, la un grad de umplere de 80%.

5 În cadrul acestei secvențe, ureea, prin descompunere în amoniac, asigură valoarea  
optimă a pH-ului bazic, necesar sintezei nanoparticolelor de hematită.

7 Secvența 3. Se încălzește programat autoclava până la atingerea unei temperaturi de  
9 proces de 230°C și o presiune de 20...40 bari, de preferință, de 30 bari, în funcție de gradul de  
11 umplere a autoclavei, și se menține, la această temperatură și presiune constantă, o perioadă  
13 de timp de 20 h. Timpul de menținere se stabilește în funcție de dimensiunea nanoparticolelor,  
pe care ne propunem să le obținem.

15 În timpul încălzirii, în jurul temperaturii de 140°C, complexul Fe-EDTA se descompune,  
17 eliberând fierul care oxidează ulterior, datorită prezenței apei oxigenate. Formarea centrilor de  
19 nucleație și creșterea propriu-zisă are loc la temperaturi cuprinse între 150 și 250°C.

Secvența 4. Se filtrează și se spală nanoparticulele obținute cu apă deionizată, după care  
se usucă și se ambalează.

Urmând aceste secvențe, s-au obținut nanocristale de hematită de înaltă puritate.  
17 Spectrul de difracție prezentat în figură scoate în evidență pikurile aferente tuturor planurilor  
de difracție ale hematitei și acestea permit o identificare rapidă și neechivocă a acestei forme  
19 cristaline a oxidului fericit.

Figura reprezintă spectrul de difracție de raze X, aferent nanocristalelor de hematită

# RO 126395 B1

## Revendicare

1

Procedeu de obținere de nanoparticule de hematită în stare cristalină pură, cu proprietăți controlate în mediu lichid, **caracterizat prin aceea că** se descompune hidrotermal un complex Fe-EDTA, la o temperatură de 150...250°C și o presiune de 20...40 bari, într-un timp de autoclavare de 10...24 h.

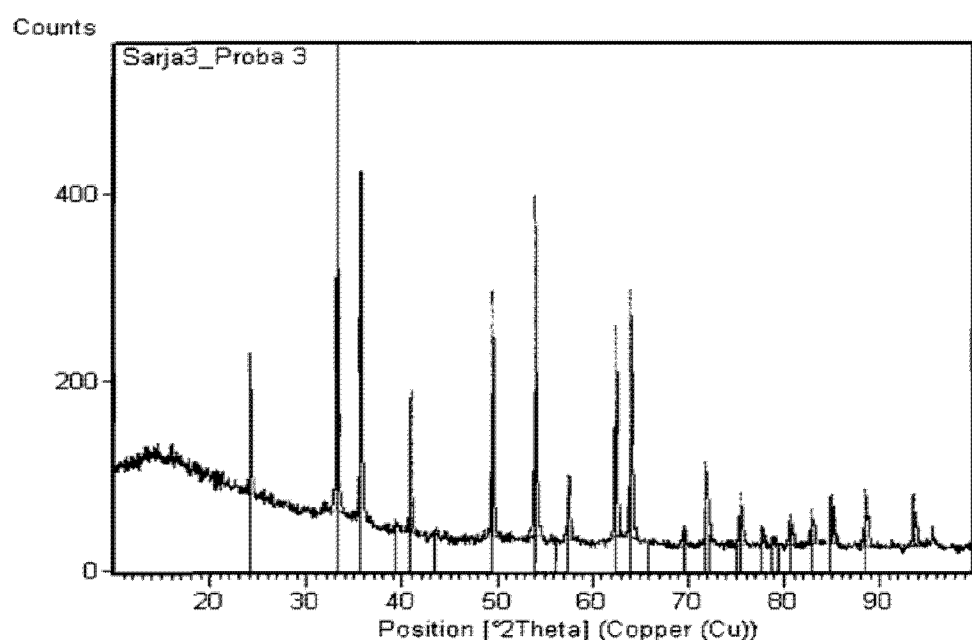
3

5

# RO 126395 B1

(51) Int.Cl.

**C01G 49/06** (2006.01);  
**C01G 49/00** (2006.01);  
**C22B 21/00** (2006.01);  
**C22B 3/24** (2006.01)



Editare și tehnoredactare computerizată - OSIM  
Tipărit la: Oficiul de Stat pentru Invenții și Mărci  
sub comanda nr. 469/2014